

I-A182 外ケーブルによりプレストレスしたPCa-RC床版の力学的挙動に関する研究

大阪大学大学院 学生会員 太田 博士 大阪大学工学部 フェロー 松井 繁之
 大阪大学大学院 学生会員 東山 浩士 釜山大学大学院 学生会員 朴 淩珍

1.はじめに 場所打ちRC床版を用いて建設された合成桁橋は、乾燥収縮によるひびわれや、交通量の増加・車両重量の増加によりRC床版の損傷や劣化をきたす。またPCa床版を用いた橋梁では、床版を含めた継ぎ手の連続性や耐久性の問題が予想され、外ケーブル方式による橋軸方向プレストレスでこれらの問題が解決できると期待される。そこで、PCa-RC床版を用いた模型桁を使用し、種々の載荷実験からプレストレスの影響度や効果を検討した。

2.試験体と実験方法 試験体は、支間長30m、床版支間6m、最小床版厚36cmの広幅員少数主桁橋を約1/6に縮小した支間長4.7m、床版支間1m、最小床版厚6cmの模型桁とした。試験体概要図を図-1に示す。試験体は3体用意し、1体目・2体目はボーステンション方式、3体目はプレテンション方式を採用している。試験内容は、プレストレスの効果を評価するための数カ所における設計荷重1tfまでの静的載荷試験、走行荷重によるひびわれ発生後での効果を調べるために総重量2tfの特殊試験ランデム車の走行試験、および、耐荷力への影響を調べる床版の押し抜きせん断耐荷力試験を順を追って実施した。一部はプレストレスした状態と解放した状態の2種で行った。

3.実験結果

3.1 プレストレス分布 1体目の床版支間中央橋軸方向プレストレス分布を梁理論値、FEM解析値とともに図-2に示す。桁端から1mのところから支間中央において、平均すればほぼ一様に分布し、梁理論値、FEM解析値とほぼ等しく計算通りに導入されている。

3.2 動的載荷試験 2体目の無補強状態の試験体の床版中央でのたわみ変動を図-3に示す。図中の等方性版解析値は、床版を全断面有効として解析したもので、配力鉄筋断面のみ引張側コンクリートを無視した解析値、および主鉄筋断面のみ引張側コンクリートを無視した解析値も示してある。たわみが0~100往復において増加しているのは、やはり継ぎ手部での橋軸直角方向のひびわれと同時に床版支間中央において橋軸方向にひびわれが入ったことによる。しかしその後、ひびわれの増加はなくたわみの変動があまりない。1000往復走行後プレストレスを導入し、たわみを測定すると、プレストレス量が10(kgf/cm²)の時はあまり変わらなかったが、プレストレス量を15(kgf/cm²)に上げると、等方性版解析値まで低減された。橋軸方向ひびわれは微細なものでた

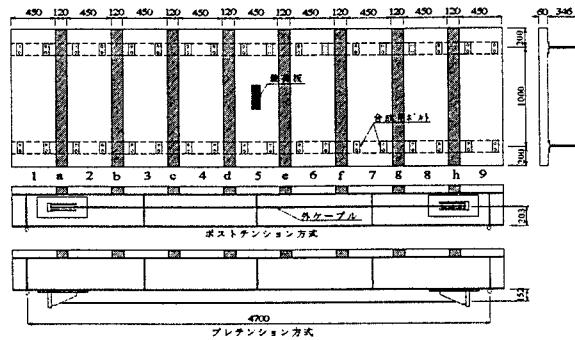


図-1 試験体概要図

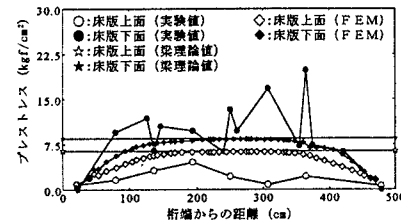
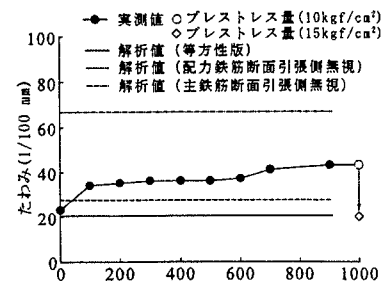
図-2 プレストレス分布(PS=10kgf/cm²)

図-3 たわみ変動

わみには影響がないようである。配力鉄筋断面が引張側コンクリート無視のひびわれ状態から、プレストレスを導入し、増加させたときの断面の中立軸を計算によって求めた。その結果を図-4に示す。また、プレストレス量とたわみ比の関係を図-5に示す。図-4よりプレストレス量が $10(\text{kgf/cm}^2)$ を越えると、急激に中立軸が深くなっているのが分かる。プレストレス量が $15(\text{kgf/cm}^2)$ になると中立軸が有効高さ以上になり、断面2次モーメントには全断面コンクリートが有効となる。そのため、たわみ比が全断面有効の時と同じになり一定値を示す。

3.3 押し抜きせん断耐荷力試験

床版部の無補強状態の荷重-たわみ曲線を図-6に示す。またプレストレス状態の荷重-たわみ曲線を図-7に示す。ここで等方性版解析値は、2方向とも全断面有効として解析したもの、異方性版解析値は、引張側コンクリートを、無視して解析したものである。載荷位置は図-1に示す床版部の中央である。床版部において、プレストレス導入によりひびわれ発生が遅くなり、また、

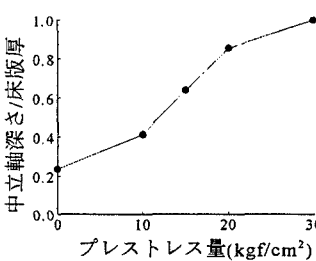


図-4 プレストレス量と中立軸の関係

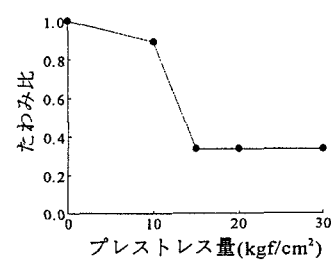


図-5 プレストレス量とたわみ比の関係

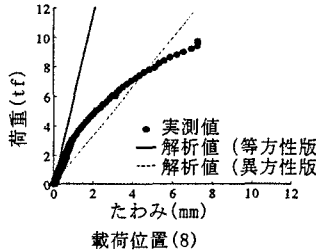


図-6 荷重-たわみ曲線

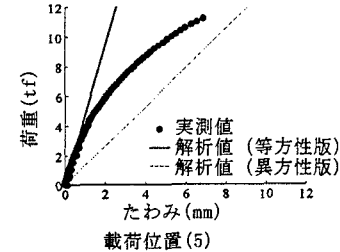


図-7 荷重-たわみ曲線

表-1 押し抜きせん断耐荷力

試験体	載荷位置	耐荷力 (tf)	松井式 (tf)	修正式-1 (tf)	修正式-2 (tf)	修正式-3 (tf)
1 体目	N-8	10.797	8.392	10.921		
	N-f	11.192	7.831	10.330		
	P-5	11.211	8.392		14.796	12.037
	P-c	10.988	7.831		14.368	11.330
2 体目	N-8	9.788	8.270	10.483		
	N-f	10.993	7.678	10.289		
	P-5	11.190	8.270		13.678	11.231
	P-c	10.795	7.678		14.247	11.246
3 体目	N-8	10.395	8.678	11.258		
	N-f	11.599	7.648	10.207		
	P-5	12.587	8.678		14.919	12.268
	P-c	11.185	7.648		13.607	10.868

N: 無補強状態 P: プレストレス状態

ひびわれ深さも小さくなるため、床版部の剛性が向上し、非線形性を示すのが遅くなっている。

押し抜きせん断耐荷力を表-1に示す。プレストレスした床版部では、1体目は1.04倍、2体目は1.14倍、3体目は1.21倍の向上が見られた。継ぎ手部においてはプレストレスの効果が見られなかった。また、松井式を用いて耐荷力を算定すると約70%位である。破壊状況を観察すると、破壊角度が橋軸方向は約45度、橋軸直角方向では30度程度であることが分かった。本試験体では支点沈下が起こり、またFEM解析によると、橋軸直角方向にアチアクションが発生し、破壊面の角度が小さくなったと考えられる。よって一方ではあるが、破壊角度を適正に入れ、松井式を修正（修正式-1）すると無補強の状態では、耐荷力が精度よく評価できることが分かった。次に、橋軸方向、橋軸直角方向ともに破壊角度を30度として、松井式の修正値（修正式-2）を求めた。修正値はプレストレスした状態の耐荷力を上回っている。よって、 $10(\text{kgf/cm}^2)$ 程度のプレストレス導入では橋軸方向の破壊角度が30~45度になると考えられる。橋軸方向を40度とした修正値（修正式-3）と、実験値との一致度が向上した。

4. まとめ プレストレスは、支間中央付近においてほぼ一様に分布することが確認できた。また、動的載荷試験からプレストレス量が $15(\text{kgf/cm}^2)$ になるとひびわれが閉じ、大幅に剛性が向上したわみが低減した。プレストレスにより床版部の耐荷力はせん断破壊角度の減少によって向上することが認められた。